



ساخت و طراحی سامانه دارویی آهسته رهش آسیکلوفیر در مقیاس نانو

شاداب شهسواری^{*}، فرید عابدین درکوش^۲، ابراهیم واشقانی فراهانی^۳، مهدی ارجمند^۳

۱- دانشگاه آزاد اسلامی واحد ورامین پیشوای- گروه مهندسی شیمی- استادیار.

۲- دانشگاه علوم پزشکی تهران- دانشکده داروسازی- گروه فارماسیوتیکس- دانشیار.

۳- دانشگاه تربیت مدرس- دانشکده مهندسی شیمی- گروه مهندسی شیمی- استاد.

۴- دانشگاه آزاد اسلامی واحد تهران جنوب- دانشکده فنی- گروه مهندسی شیمی- استادیار.

تاریخ دریافت: ۱۳۹۲/۵/۲۲، تاریخ پذیرش: ۱۳۹۲/۹/۵

چکیده

مقدمه: تحقیق حاضر به منظور توسعه سامانه‌های نوین آزادسازی دارو بر پایه نانوذرات صورت گرفته است.

مواد و روش‌ها: در این تحقیق با استفاده از پلیمر طبیعی کیتوزان، که به علت خاصیت زیست سازگاری و زیست تخریب پذیری بالا یکی از مناسب‌ترین مواد برای استفاده در زمینه‌های دارو رسانی می‌باشد، نسبت به تهیه ذرات در مقیاس نانومتر با استفاده از روش ژل شدن یونی اقدام شد. پارامترهای مطالعه شده در تعیین اندازه ذرات با استفاده از روش آماری دی اپتیمال، شامل غلظت دارو، نسبت غلظت کیتوزان به تری پائی فسفات و H_2O محلول دارو- پلیمر می‌باشند. جهت تعیین اندازه نانوذرات حاصله از دستگاه پراکنش نور دینامیک، جهت بررسی شکل نانوذرات از میکروسکوپ الکترونی نگاره، برای بررسی ساختار تشکیل‌دهنده نانوذرات از طیف سنجی مادون قرمز و برای تعیین مقاومت حرارتی از آنالیز وزن سنجی حرارتی استفاده شد.

نتایج: نانوذره بهینه با مشخصات اندازه ذره $132 \pm 3/24$ نانومتر، پتانسیل زتابی $32 \pm 17/2$ میکرو ولت، شاخص توزیع اندازه ذرات برابر با 0.05 ± 0.01 و میزان داروی بارگذاری شده $15 \pm 4/35$ درصد به دست آمد. همچنین مطالعه رهایش آسیکلوفیر در محیط آزمایشگاه میزان $17 \pm 11/17$ در طول ۴۸ ساعت را نتیجه داد.

نتیجه‌گیری: نانوذرات آسیکلوفیر تهیه شده در شرایط بهینه با اندازه کوچک و ساختار کروی شکل و همچنین پایداری حرارتی بالا، می‌توانند به عنوان حاملی مناسب برای مصارف دارو رسانی به کار روند.

واژه‌های کلیدی: آسیکلوفیر، رهایش کنترل شده، ژل شدن یونی، طراحی آزمایش، کیتوزان، نانوذرات.

***نویسنده مسئول:** دانشگاه آزاد اسلامی واحد ورامین پیشوای- گروه مهندسی شیمی، تلفن: ۰۹۱۲۳۷۵۰۹۳، نامبر: ۰۸۰۰۹۴۴۰۰۲۱-۰۹۱۲۳۷۵۰۹۳

ارجاع: شهسواری شاداب، عابدین درکوش فرید، واشقانی فراهانی ابراهیم، ارجمند مهدی. ساخت و طراحی سامانه دارویی آهسته رهش آسیکلوفیر در مقیاس نانو. مجله دانش و تدرستی ۱۳۹۳(۹):۶۰-۶۷.

۹۵٪ مخصوص شرکت پرایمکس ایسلند، تریپلیفسفات مخصوص شرکت فلوکا، سدیم هیدروکلریک اسید و استیک اسید همگی از شرکت مرک، کیسه دیالیز با سایز ۱۲ کیلودالتون از شرکت سیگما استفاده گردید.

تهیه نانو ذرات بارگذاری شده کیتوزان با آسیکلولویر نانوذرات کیتوزان بر طبق فرآیندی که اولین بار توسط کالوو و همکاران براساس روش ژل شدن یونی کیتوزان با سدیم یون‌های سدیم تریپلیفسفات گزارش شده است، تهیه شدند (۴).

بر این اساس، محلول کیتوزان و آسیکلولویر شامل ۱٪ اسید استیک و محلول ۰/۵٪ سدیم تریفسفات تهیه گردیدند. محلول تریپلیفسفات به شکل قطره قطره به ۵ میلی‌لیتر از محلول کیتوزان-آسیکلولویر در حضور توبین (برای جلوگیری از حالت توده شدگی) اضافه شده و با همزن مغناطیسی در دمای محیط برای مدت ۴۵ دقیقه جهت ایجاد پیوند هم زده شد. با پیشرفت فرآیند ژل شدن یونی یک محلول کلوفیدی حاصل می‌شود. سپس نانوسوسپانسیون‌های کلوفیدی برای مدت ۳۰ دقیقه با شتاب ۱۵۰۰۰ سانتریفیوژ شدند. ذرات جدا شده دارای ابعاد نانومتری می‌باشند که برای بررسی اندازه و شکل آنها، رسوپهای بدست آمده را دوباره در آب به حالت سوسپانسیون درآورده و محلول نانو ذرات ایجاد شده با استفاده از روش خشک کردن انجامدادی لیوفیلیزه شدند.

طراحی آزمایش (DOE)

براساس مطالعات صورت گرفته روش آماری چندین مزیت را نسبت به روش کلاسیک پیشنهاد می‌کند: سریع و مطمئن است، به فهم روابط بین پارامترها در مقدارهای مختلف کمک می‌کند و همچنین تعداد کل آزمایشات را کاهش داده و موجب صرفه‌جویی در زمان، مواد شیمیابی و نیروی انسانی می‌شود (۵).

با توجه به مطالعات گذشته (۷ و ۶) متغیرهایی مانند غلظت، pH محلول پلیمر، نسبت کیتوزان به تریپلیفسفات و وزن ملکولی کیتوزان بر روی اندازه ذرات تأثیر بهسازی دارد.

بدینجهت، طراحی آزمایش برای بررسی تأثیرات سه متغیر مستقل (عوامل) شامل غلظت دارو (x1)، نسبت غلظت تریپلیفسفات به پلیمر (x2) و pH محلول دارو-پلیمر (x3) بر روی متغیرهای وابسته (پاسخها) شامل اندازه ذرات (y1)، پتانسیل زتا (y2)، شاخص توزیع اندازه ذرات (y3) و درصد میزان داروی بارگذاری شده (y4) در سه سطح (جدول ۱) و براساس آرایه دی اپتیمال به کار رفت و بهینه‌سازی با روش سطح پاسخ به عنوان کاربرد اصلی طراحی آزمایش در آزمایشات دارویی مورد استفاده قرار گرفت.

اندازه و پتانسیل زتا نانوذرات با استفاده از دستگاه پراکنش نور دینامیک اندازه گیری شد. نمونه‌ها در سلول آنالیز قرار گرفتند و

مقدمه

هرپس سیمپلکس نوعی از عفونت پوستی است که بهوسیله‌ی ویروس هرپس هومینیس ایجاد می‌شود و عموماً به عنوان تاول تبخالی شناخته می‌شود. دو نوع مختلف ویروس هرپس سیمپلکس نوع او، ۲، دو عضو خانواده هرپس ویروس‌ها هستند که انسان را آلوه می‌کنند. در حقیقت سیستم ایمنی ویروس را از پوست حذف می‌کند، اما ویروس خودش را در اعصاب مخفی کرده و ممکن است در آینده دوباره پدیدار گردد.

آسیکلولویر یک داروی ضد ویروسی با یک فعالیت قابل توجه و بسیار متمایز است که به بدن کمک می‌کند تا در یک روش مؤثر بر ضد عفونت بجنگد و اینمی‌تواند هرپس را فراهم کند. آسیکلولویر به طور کامل بیماری هرپس را درمان نمی‌کند، اما مطمئناً در کاهش علائم و گسترش عفونت هرپس مؤثر می‌باشد. آسیکلولویر خوراکی عمدتاً به صورت قرص‌های ۲۰۰ میلی‌گرم، به دفعات ۴ بار در روز مصرف می‌شوند. به علاوه، تجویز طولانی مدت آسیکلولویر (۶ ماه یا بیشتر) در یک بیمار با نقص ایمنی با عفونت هرپس سیمپلکس موردنیاز می‌باشد (۱).

در سال‌های اخیر نانوداروها برای فرمولاسیون آهسته رهش در سیستم‌های دارورسانی مورد توجه قرار گرفته‌اند و در این راستا انتخاب مناسب یک ماتریکس پلیمری برای توسعه یک سیستم دارورسانی نانوذره موفق ضروری می‌باشد که پلیمرهای زیست تخریب‌پذیر در این زمینه بیشترین توجهات را در سال‌های اخیر به خود معطوف داشته‌اند (۲).

به طور کلی رهایش دارو از نانو ذرات به تخریب‌پذیری پلیمر بستگی دارد، که بهوسیله‌ی طبیعت ترکیب پلیمری و وزن مولکولی کنترل می‌گردد، از میان پلیمرها، پلیمر کاتیونی کیتوزان به خاطر خصوصیاتی مانند، زیست سازگاری پذیری، زیست تخریب‌پذیری و توانایی برای افزایش انتقال دوره‌ای داروها قابل توجه است. کیتوزان یک پلیمر زیستی خطی است که توسط خرچنگ‌ها، میگوهای مرکب و برخی مخمرها، ساخته می‌شود. کیتوزان دارای گروههای آمینو می‌باشد و یک بیopolymer چند کاتیونی در یک محلول آبی است. کیتوزان یک پلیمر زیست چسبناک است و توانایی باز کردن موقتی اتصالات محکم را دارد، که بهوسیله‌ی آن به داروها اجازه می‌دهد تا از بین سدها عبور کنند (۳).

این تحقیق روی طراحی نانو ذرات زیست تخریب‌پذیر آسیکلولویر برای دارورسانی خوراکی متصرک شده است.

مواد و روش‌ها

در این پژوهش، از آسیکلولویر مخصوص شرکت شیمیابی دارویی ارسطو، کیتوزان با وزن ملکولی ۱۵۰ کیلودالتون و درجه استیلاسیون

که به خاطر اکسیداسیون و یا دهیدراسیون از خود کاهش وزن نشان می‌دهند را تشخیص داد. برای توصیف رهایش دارو در محیط آزمایشگاه، ۲/۶ میلی‌گرم از رسوب حاصل از نانوذرات پلیمر- دارو را در یک کیسه دیالیز ریخته و سپس کیسه دیالیز در حجم مشخصی از محلول بافر فسفات قرار داده شد.

بشر حاوی بافر فسفات و کیسه دیالیز را داخل انکوباتور با دمای $37 \pm 0/5^{\circ}\text{C}$ گذاشت و در فواصل معین (۱، ۲، ۴، ۸، ۱۶ و ۴۸ ساعت) یک میلی‌لتر از محلول محیط رهایش را به عنوان نمونه برداشته و با بافر تازه جانشین گردید. سپس نمونه‌ها با استفاده از دستگاه اسپکتروفوتومتر برای تعیین مقدار داروی رهایش یافته بررسی شدند. برای دقت کار، تمام آزمایشات تحت شرایط مشابه سه بار تکرار شدند.

نتایج

طرایی آزمایش

طرح آزمایش با آرایه دی‌اپتیمال برای آزمودن کارایی مدل پیشنهاد شد و آزمایش‌ها براساس روش ارائه شده انجام گرفت. مقدار متغیرهای مطلق و داده‌های تجربی مربوطه در جدول ۲ گردآوری شده است.

برای نشان دادن ارتباط بین پاسخ‌ها و متغیرهای مستقل، منحنی‌های پاسخ سطح سه بعدی رسم شدند تا درک بهتری از بر هم کنش سه متغیر مستقل روی عوامل وابسته فراهم آورد. نمودارهای سطح پاسخ در شکل ۱ نشان داده شده‌اند.

آنالیز آماری بر پایه روش سطح پاسخ دی‌اپتیمال برای ایجاد مناسب‌ترین مدل برای پیش‌بینی اندازه ذرات نیازمند استفاده قرار گرفت. هر یک از آزمایش‌ها 3 بار تکرار شدند و هر بار اندازه نانوذرات تعیین گردید که نتایج حاصل در جدول ۲ نمایش داده شده است.

مدل استخراج شده نشان می‌دهد که تمام عوامل اصلی (غلظت دارو، pH محلول پلیمر و نسبت غلظت کیتوزان- تری‌پلی‌فسفات) روی اندازه نانوذرهای تأثیر می‌گذارند. منحنی سه بعدی سطح پاسخ اندازه ذرات، در شکل ۱-۱ نشان داده شد.

همان‌طور که در شکل ۱ نشان داده شده است، با افزایش غلظت کیتوزان در یک pH ثابت، اندازه نانوذرات افزایش می‌یابد. این افزایش بدان علت است که با افزایش غلظت محلول کیتوزان، گرانوی محلول به طور ثابتی افزایش یافته و مقاومت فاز مایع در برابر پراکندگی افزایش می‌یابد و در نتیجه ذرات به یکدیگر متصل شده و ذرات بزرگتری تشکیل می‌شود. همچنین با افزایش غلظت، تعداد ذراتی که در تشکیل نانوذرات شرکت می‌کنند بیشتر شده و نانوذراتی با ابعاد بزرگتری تولید می‌نمایند. گان و همکاران (۱۰) و همچنین زانگ و

آزمایش در دمای 25°C با زاویه تشخیص 90° درجه انجام گرفت. هر یک از آزمایش‌ها سه بار تکرار و پاسخ هر آزمایش (اندازه نانوذرات) اندازه‌گیری شد و مقدارها به عنوان میانگین \pm انحراف استاندارد نشان داده شدند. همچنین میزان انتشار اندازه نانوذرات نیز به عنوان یک اندرس چند پراکنشی گزارش شد.

جدول ۱- سطوح متغیرهای فرآیند نانوذرات

متغیرهای مستقل (عوامل)	محدوده سطوح
X_1 = غلظت دارو	$-0/1 - 0/2$
X_2 = نسبت غلظت تری‌پلی‌فسفات به پلیمر	$2 - 6$
X_3 = pH محلول دارو- پلیمر	$2 - 5$
متغیرهای وابسته (پاسخ‌ها)	حدود
Y_1 = اندازه ذرات (نانومتر)	حداقل
Y_2 = پتانسیل زتا (میکرو ولت)	$20 < Y_2 < 30$
Y_3 = شاخص توزیع اندازه ذرات	حداکثر
Y_4 = درصد میزان داروی بارگذاری شده	حداکثر

به طور کلی شاخص توزیع اندازه ذرات دارای محدوده از 0 تا 1 می‌باشد که مقدارهای نزدیک به صفر یک پراکنش یکنواخت و مقدارهای بزرگتر از $0/5$ بیانگر غیر یکنواختی بالایی می‌باشد. درصد میزان داروی بارگذاری شده

پس از اینکه نانوسوسپانسیون برای مدت 30 دقیقه با شتاب 15000 سانتی‌فیوژ شدند، مایع روی ذرات ته نشین شده به وسیله نمونه‌گیر برداشته شد و مقدار آسیکلولوپیر آزاد در آن توسط دستگاه طیف‌سنجی اشعه ماوراء بنفش (اسپکتروفوتومتر) در طول موج 253 نانومتر (طول موجی که دارو در آن بیشترین جذب را دارد) اندازه‌گیری شد.

جهت بررسی ساختار تشکیل دهنده نانوذرات از طیف‌سنجی مادون قرمز توسط دستگاه اسپکترومتر شرکت نیکولت استفاده گردید. قرص موردنظر با پتانسیم بروماید در فشار 500 اتمسفر آماده شد و اسکن شد. سپس طیف به دست آمده از نانوذرات با طیف پلیمر و طیف دارو به تنهایی مقایسه شد (۹ و ۸).

برای تشخیص شکل سطحی نانوذرات، دستگاه میکروسکوپ الکترونی هیتاچی ساخت کشور ژاپن مورد استفاده قرار گرفت. نانوذرات با استفاده از نوار دو پهلو روی پایه فلزی مخصوصی قرار داده شده و با یک لایه نازک از طلا تحت شرایط خلاً پوشش داده شدند. درنتیجه، تصویر نانوذرات به وسیله ریابی الکترون‌های ثانویه ساطع شده از نمونه گزارش شد.

برای تعیین ترکیب مواد و پیش‌بینی پایداری حرارتی نانوذرات به دست آمده، از آنالیز وزن سنجی حرارتی به وسیله یک مدل علمی ژئومتریک استفاده گردید. با استفاده از این تکنیک می‌توان موادی را

باتوجه به جدول ۲، میزان داروی بارگذاری شده محاسبه شده نانو ذرات آسیکلولوپر در محدوده بین $۹۲\pm۳/۲۶$ تا $۷۵\pm۳/۳۹$ گزارش شد که این گستردنی محدوده وابسته به pH محلول پلیمر، غلظت دارو و نسبت غلظت تری پلیفسفات به پلیمر می باشد.

نمودار سطح پاسخ سه بعدی درصد میزان داروی بارگذاری شده در شکل ۱-۴ نشان داده شده است.

همان طور که در شکل دیده می شود با افزایش نسبت غلظت کیتوزان- تری پلیفسفات از ۲ به ۶ در یک غلظت ثابت آسیکلولوپر، میزان داروی بارگذاری شده به شدت کاهش می یابد. سیتربرگ و همکاران نشان دادند که افزایش غلظت پلیمر ممکن است باعث سخت شدن پلیمر شده و در نتیجه باعث کاهش میزان آزادسازی داروی بارگذاری شده شود (۱۳).

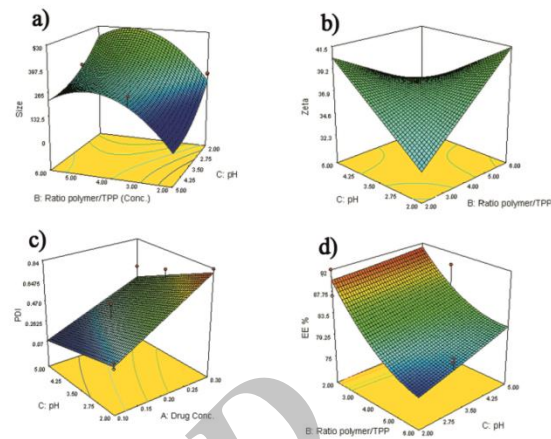
طیف مادون قرمز نانوذرات کیتوزان حاوی آسیکلولوپر در شکل ۲ به تصویر کشیده شده است. باتوجه به شکل هیچ پیک جذبی از گروه آمینوکیتوزان در طیف های نانوذرات کیتوزان حاوی آسیکلولوپر وجود نداشت و در عوض پیک جدید حاصل از اتصال بین گروه هیدروکسیل آسیکلولوپر و گروه آمینوکیتوزان قبل رؤیت می باشد. تصویر میکروسکوپ الکترونی به دست آمده از نمونه بهینه شده نشان می دهد که نانوذرات کیتوزان حاوی آسیکلولوپر دارای یک ساختار فشرده سخت با شکل کروی صاف می باشند (شکل ۳).

همچنین باتوجه به شکل و همان طور که در جدول ۲ گزارش شده است، اندازه ذرات به دست آمده در محدوده نانومتر می باشند و نشان می دهد که سطوح انتخاب شده برای بررسی اثر متغیرهای فرآیند مناسب است.

با استفاده از آنالیز وزن سنجی حرارتی، می توان رابطه بین کاهش وزن نمونه ها را در مقابل افزایش دما ارزیابی کرد. با استفاده از این آنالیز و با اندازه گیری وزن کل از دست رفته از نمونه می توان نشان داد که چه جرمی از ترکیب در نمونه وجود دارد. آنالیز وزن سنجی حرارتی نانوذرات کیتوزان حاوی آسیکلولوپر در شکل ۴ به تصویر کشیده شده است.

باتوجه به شکل کاملا واضح است که با افزایش دما تا ۱۰۰°C آب سطحی موجود در نمونه تبخیر می شود و باعث کاهش وزن نمونه می شود. به علاوه از $۱۰۰-۲۰۰^{\circ}\text{C}$ این کاهش وزن افزایش یافته و پس از آن نیز در محدوده دمایی $۲۰۰-۴۰۰^{\circ}\text{C}$ حرارت از لایه سطحی به لایه داخلی نانوذره نفوذ کرده و منجر به استخراج آب های متصل می شود.

نانوذرات آسیکلولوپر در دمای بیش از ۲۰۰°C نشان دهنده یک ساختار خوب از نانوذرات کیتوزان- آسیکلولوپر می باشد.



شکل ۱- نمودار سطح پاسخ نشان دهنده تأثیرات متغیرهای مستقل بر متغیرهای وابسته: (۱) اندازه ذرات، (۲) پتانسیل زتا (۳) میزان پراکندگی ذرات و (۴) درصد داروی بارگذاری شده همکاران (۱۱) نیز نشان داده اند که کاهش غلظت پلیمر منجر به کاهش سایز ذره می شود.
همچنین وقتی pH محلول کیتوزان افزایش می یابد، انحلال پذیری و همچنین مکانیسم های برهم کنش گروه های یونی بارهای مضادعف کاهش می یابد. بنابراین در مراحل اولیه تهیه نانوذرات شبکه ضعیفی شکل گرفته که نیروی حاصل از برهم زدن براحتی ذرات را به بخش های کوچکتری پراکنده می کند. مطالعه قبلی درباره کیتوزان نیز حاکی از آن است که اندازه ذرات می تواند با کاهش pH پلیمر افزایش یابد (۱۲).

پتانسیل زتا ثبات نانوسوپرانسیون های کلوئیدی را تعیین می کند. به طور معمول در پتانسیل زتا بالا، ثبات نانو ساختارها به خاطر نیروهای دافعه الکتریکی قوی بین ذرات بالاتر می باشد.
همان طور که در جدول ۱ نشان داده شده است، بهینه سازی پتانسیل زتا در محدوده ۲۰ تا ۳۰ میکرو ولت تعیین شد. علت تعیین این محدوده بدین جهت بود که نانو ذرات با پتانسیل زتا بیشتر از ۳۰ میکرو ولت ممکن است روی سلول های موکوئیدی و پیزگی های سمیت از خود نشان دهنده و همچنین ذرات با پتانسیل زتا کمتر از ۲۰ میکرو ولت نیز باعث ایجاد توده شده و پایدار نیستند.

منحنی سطح واکنش سه بعدی پتانسیل زتا نانوذرات در شکل ۲-۱ نشان داده شده است.

همان طور که در جدول ۲ آمده است، پتانسیل زتا ذرات تشکیل شده بین $۲/۵-۲/۵$ تا $۲/۰-۲/۰$ میکرو ولت تعیین است. می توان نتیجه گرفت که با کاهش pH محلول پلیمر و همچنین نسبت غلظت تری پلیفسفات به پلیمر، مقدار پتانسیل زتا نیز به طور مشابه کاهش می یابد.

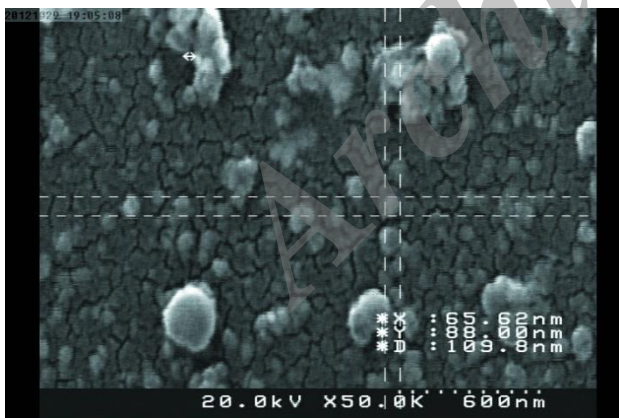
درصد میزان داروی بارگذاری شده

جدول ۲- طراحی آزمایش‌ها برای تهیه نانوذرات کیتوزان براساس آرایه دی اپتیمال

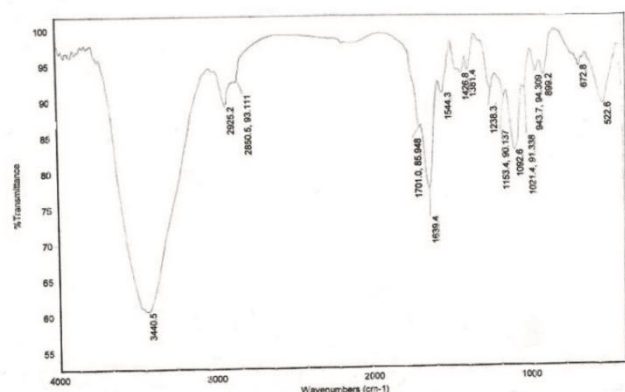
شماره آزمایش (Y _۱)	(نامومتر) (Y _۲)	(میکروولت) (Y _۳)	متغیرهای واپسنه (پاسخ‌ها) (%) (Y _۴)
۱	۴۵۲±۲۵/۸۷	۲۶/۸±۱/۰۶	۷۵±۳/۳۹
۲	۳۵۶±۳۸/۶۰	۳۲/۴±۲/۴۸	۸۸/۵±۴/۳۰
۳	۱۴۱±۱۷/۲۱	۴۴/۲±۲/۲۶	۸۸/۶±۴/۳۷
۴	۳۷۱±۱۷/۸۲	۲۵/۲±۲/۵	۸۵±۲/۹۳
۵	۲۷۶±۲۱/۲۷	۳۱/۵±۱/۶۴	۹۲±۳/۲۶
۶	۴۲۵±۳۰/۵۴	۳۱/۵±۲/۹۲	۸۹±۳/۴۶
۷	۲۸۲±۲۱/۱۳	۵۶/۱±۲/۶۲	۸۷±۲/۸۵
۸	۱۴۳±۲۳/۹۱	۴۴/۱±۲/۸۱	۹۰±۲/۲۷
۹	۲۱۴±۳۵/۵۶	۳۴/۶±۱/۵۳	۸۹±۳/۹۲
۱۰	۵۵۲±۴۲/۱۰	۳۷/۱±۱/۰۷	۷۸±۳/۱۵
۱۱	۳۳۳±۳۴/۹۵	۳۸/۲±۲/۴۶	۷۹±۲/۱
۱۲	۳۳۴±۲۳	۳۶/۲±۲/۸۵	۸۰±۴/۸۳
۱۳	۴۸۵±۳۵/۰۱	۳۸/۸±۱/۰۶	۸۶±۳/۰۸
۱۴	۴۴۲±۲۶/۳۵	۳۲/۸±۱/۰۷	۹۱±۲/۸۲
۱۵	۲۹۱±۲۴/۸۳	۵۷/۸±۲/۰۷	۸۹.۵±۳/۳۵
۱۶	۲۴۷±۳۸/۵۷	۳۲/۱±۱/۲۹	۷۷±۱/۲۳
۱۷	۱۶۷±۲۷/۳۲	۴۵/۸±۲/۹۰	۸۵±۳/۴۳
۱۸	۳۶۴±۲۵/۱۸	۳۳/۶±۲/۲۸	۸۸±۲/۰۸
۱۹	۱۱۰±۱۷/۳۳	۴۶/۷±۰/۷۷	۸۲±۲/۹۵
۲۰	۲۱۳±۲۸/۳۴	۳۹/۵±۱/۰۹	۸۱±۱/۰۲

جدول ۳- نتایج داده‌های آزادسازی دارو در زمان‌های مختلف

زمان (ساعت)	۱	۲	۴	۶	۸	۲۴
میزان رهایش دارو (%)	۲۵/۵±۲/۲۸	۳۵/۱۲±۲/۳۵	۴۲/۶±۲/۳۲	۴۸/۵±۴/۵۲	۵۲/۸۴±۳/۰۹	۷۰/۷۸±۳/۴۵



شکل ۳- تصویر میکروسکوپ الکترونی نانوذرات کیتوزان حاوی داروی آسیکلوبیر



شکل ۲- طیف سنجی مادون قرمز نانوذرات کیتوزان حاوی داروی آسیکلوبیر

درنهایت بعد از ۴۸ ساعت، به دلیل برهم‌کنش بین ذرات کیتوzan و تریپلی‌فسفات و ایجاد یک شبکه پلیمری نیرومند، نانوذرات آسیکلولویر در این ماتریکس به دام افتاده و رهایش آسیکلولویر کاهش می‌یابد.

بحث

در این تحقیق، برای تهیه نانوذرات آسیکلولویر-کیتوzan از روش ژل شدن یونی به عنوان روش سریع و کارآ استفاده شد و نانوذرات تهیه شده با استفاده از روش آماری دی اپتیمال بهینه شدند. ویژگی‌های نانوذرات از جمله اندازه ذرات، پتانسیل زتا، معیار پراکندگی ذرات و درصد میزان داروی بارگذاری شده مورد بررسی قرار گرفتند.

باتوجه به مطالعات صورت گرفته مشخص گردید که همه نانوذرات دارای اندازه کمتر از ۵۰۰ نانومتر، با توزیع اندازه ذرات یکنواخت و پتانسیل زتا مثبت می‌باشند و همچنین نانوذرات تولید شده دارای درصد میزان داروی بارگذاری شده بالای ۷۵٪ می‌باشند.

شرایط بهینه نانوذرات به دست آمده عبارت است از: اندازه ذره $122 \pm 3 / 224$ نانومتر، پتانسیل زتا $32 \pm 87 / 2$ میکرو ولت، شاخص توزیع اندازه ذرات برابر با $159 \pm 0 / 0.5$ و میزان داروی بارگذاری شده $85 \pm 4 / 35$ درصد.

مطالعه ساختاری در مورد نانوذرات، نمایش دهنده شکل گیری نانوذرات کروی شکل غیرمتراکم با سطوح صاف می‌باشد. همچنین مطالعه دمایی، پایداری نانوذرات را در دمای بالای ۲۰۰ درجه مشخص می‌کند.

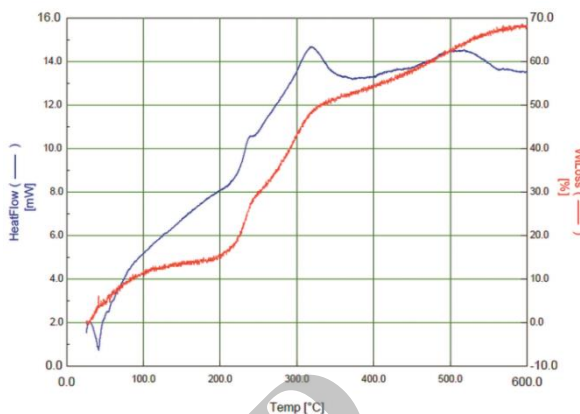
در ادامه مطالعه رهایش داروی آسیکلولویر روی نانوذرات انجام گرفت که عدم هرگونه رهایش انفجاری و سریع حاکی از برهم‌کنش ایده‌آل بین پلیمر کیتوzan و آسیکلولویر می‌باشد.

تشکر و قدردانی

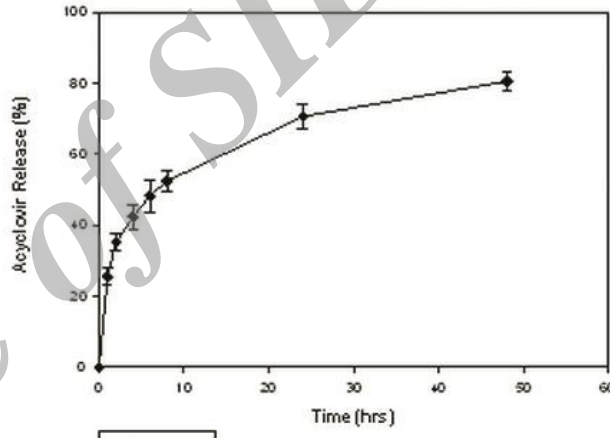
از مرکز رشد واحدهای فناوری فرآوردهای دارویی دانشگاه علوم پزشکی تهران که با فراهم آوردن امکانات، از این پژوهش حمایت کردند، تشکر و قدردانی می‌شود.

References

- Emmert DH. Treatment of common cutaneous herpes simplex virus infections. American Family Physician 2000;61:1697-1704.
- Wagstaff AJ, Faulds D, Goa KL. Acyclovir: a reappraisal of its antiviral activity. Pharmacokinetics Properties and Therapeutic Efficacy Drugs 1994;47:153-205.
- Felt O, Furrer P, Mayer JM, Plazonet B, Buri P, Gurny R. Topical use of chitosan in ophthalmology: tolerance assessment and evaluation of precorneal retention. International Journal of Pharmaceutics 1999;180:185-93.
- Calvo P, Remunan-Lopez C, Vila-Jata JL, Alonso MJ. Novel hydrophilic chitosan-polyethylene oxide nanoparticles as protein carriers. Journal of Applied Polymer Science 1997;63:125-132.
- Wold S, Sjöström M, Eriksson L. PLS-regression: a basic tool of chemometrics. Chemometrics and Intelligent Laboratory Systems 2001;58:109-130.



شکل ۴- آنالیز وزن‌سنجی حرارتی نانوذرات کیتوzan حاوی داروی آسیکلولویر



شکل ۵- نمودار درصد آزادسازی دارو از نانوذرات نسبت به زمان

باتوجه به نمودار به دست آمده از آنالیز حرارتی، پایداری رهایش داروی آسیکلولویر از نانوذرات بهینه شده در محلول بافر فسفات طی ۴۸ ساعت مورد مطالعه قرار گرفت و داده‌های آزادسازی دارو برای نانوذرات کیتوzan حاوی آسیکلولویر در شرایط بهینه، به عنوان میانگین انحراف استاندارد گزارش شد (جدول ۳).

بدین ترتیب نمودار رهایش آسیکلولویر بر حسب درصد داروی آزاد شده نسبت به زمان رسم شد (شکل ۵).

همان‌طور که در شکل ۵ مشاهده می‌شود، در ۳۰ دقیقه ابتدای رهایش، میانگین رهایش آسیکلولویر از نانوذرات تهیه شده از کیتوzan میزان ۱۴٪ می‌باشد که عدم آزادسازی سریع دارو از نانوذرات نشان‌دهنده بر هم کنش مناسب بین ذرات آسیکلولویر و کیتوzan می‌باشد. بر طبق شکل ۵، بیشترین رهایش آسیکلولویر از نانوذرات کیتوzan، $81 / 17\%$ در ۴۸ ساعت بوده است و همچنین الگوی رهایش، یک رهایش بسیار آهسته دارو از نانوذرات را در هر نقطه زمانی نشان می‌دهد.

6. Katas H, Alpar HO. Development and characterization of chitosan nanoparticles for sirna delivery. *Journal of Control Release* 2006;115:216-225.
7. Gan Q, Wang T, Cochrane C, McCarron P. Modulation of surface charg, particles size and morphological properties of chitosan-tpp nanoparticles intended for gen delivery. *Journal of Colloidal Surface* 2005;44:65-73.
8. Silverstein RM, Frances X, Kiemle D. Spectrometric identification of organic compounds.7th ed.New York:Wiley;2005.
9. Indian Pharmacopoeia, New Delhi: Controller of Publication;1996.
10. Gan Q, Wang T, Cochrane C, McCarron P. Modulation of surface charge, particle size and morphological properties of chitosan-tpp nanoparticles intended for gen delivery. *J Colloid and Surface Biointerface* 2005;44:65-73.
11. Zhang H, Oh M, Allen C, Kumacheva E. Mono disperse chitosan nanoparticles for mucosal drug delivery. *Biomacromolecules* 2004;5:2461-2468.
12. Dustgani A, Vasheghani-Farahani E, Imani M. Determination of optimum conditions for production of chitosan nanoparticles. *Iranian Journal of Polymer Science and Technology* 2007;20:457-464.
13. Jintapattanakit A, Junyaprasert VB, Mao S, Sitterberg J, Bakowsky U, Kissel T. Perioral delivery of insulin using chitosan derivatives: a comparative study of polyelectrolyte nanocomplexes and nanoparticles. *International Journal of Pharmaceutics* 2007;9:240-342.



Design of Nanoparticles Loaded Acyclovir for Controlled Delivery System

Shadab Shahsavari (Ph.D.)^{1*}, Farid Abedin Dorkoosh (Ph.D.)², Ebrahim Vasheghani Farahani (Ph.D.)³, Mehdi Arjmand (Ph.D.)⁴

1- Dept. of Chemical Engineering, Islamic Azad University, Varamin- Pishva Branch, Tehran, Iran.

2- Dept. of Pharmaceutics, School of Pharmacy, Tehran University of Medical Sciences, Tehran, Iran.

3- Dept. of Chemical Engineering, School of Engineering, Tarbiat Modares University, Tehran, Iran.

4- Dept. of Chemical Engineering, School of Graduate, Islamic Azad University, Tehran South Branch, Tehran, Iran.

Received: 13 August 2013, Accepted: 26 November 2013

Abstract:

Introduction: The aim of this research was to develop a new drug release systems based on Nanoparticles. In this study, the natural polymer chitosan was used for preparation of nanoparticles due to its unique properties, such as biocompatibility and biodegradability.

Methods: The polymeric nano-drug controlled release system has been designed with experimental design D-optimal response surface methodology, for varied variables such as the concentration of acyclovir, concentration ratio of chitosan/ TPP and pH using the ionic gelation method. The nanoparticles were characterized morphologically by scanning electron microscopy (SEM), particle size analyser (DLS) for determining size, zeta and PDI, Fourier Transform Infra-Red (FTIR) Spectroscopy for determination of structure of nanoparticles and thermo gravimetric analysis (TGA) for studying thermal behavior. The optimized nanoparticles were characterized.

Results: The size of the particles was detected to be 132 ± 24.3 nm; zeta potential was 32 ± 2.87 mV; PDI of particles was 0.159 ± 0.05 ; and calculated EE% was $85 \pm 4.38\%$. An in-vitro release study of the prepared nanoparticles illustrated that the percentage of acyclovir released from the nanoparticles was $80.17 \pm 2.45\%$ within 48 hrs.

Conclusion: The optimized nanoparticles according to SEM image, exhibited segregated and non-aggregated nanoparticles with sub-spherical smooth morphology and also the high thermal stability of acyclovir nanoparticles at temperature up to 200°C due to TGA analysis, which indicated a well-established structure of nanoparticles.

Keywords: Acyclovir, Chitosan nanoparticles, Controlled release system, D-optimal response surface experimental design methodology, Ionic gelation.

Conflict of Interest: No

*Corresponding author: Sh. Shahsavari, Email: shadab.sh@gmail.com

Citation: Shahsavari Sh, Abedin Dorkoosh F, Vasheghani Farahani E, Arjmand M. Design of nanoparticles loaded acyclovir for controlled delivery system. Journal of Knowledge & Health 2015;9(4):60-67.